



1/22

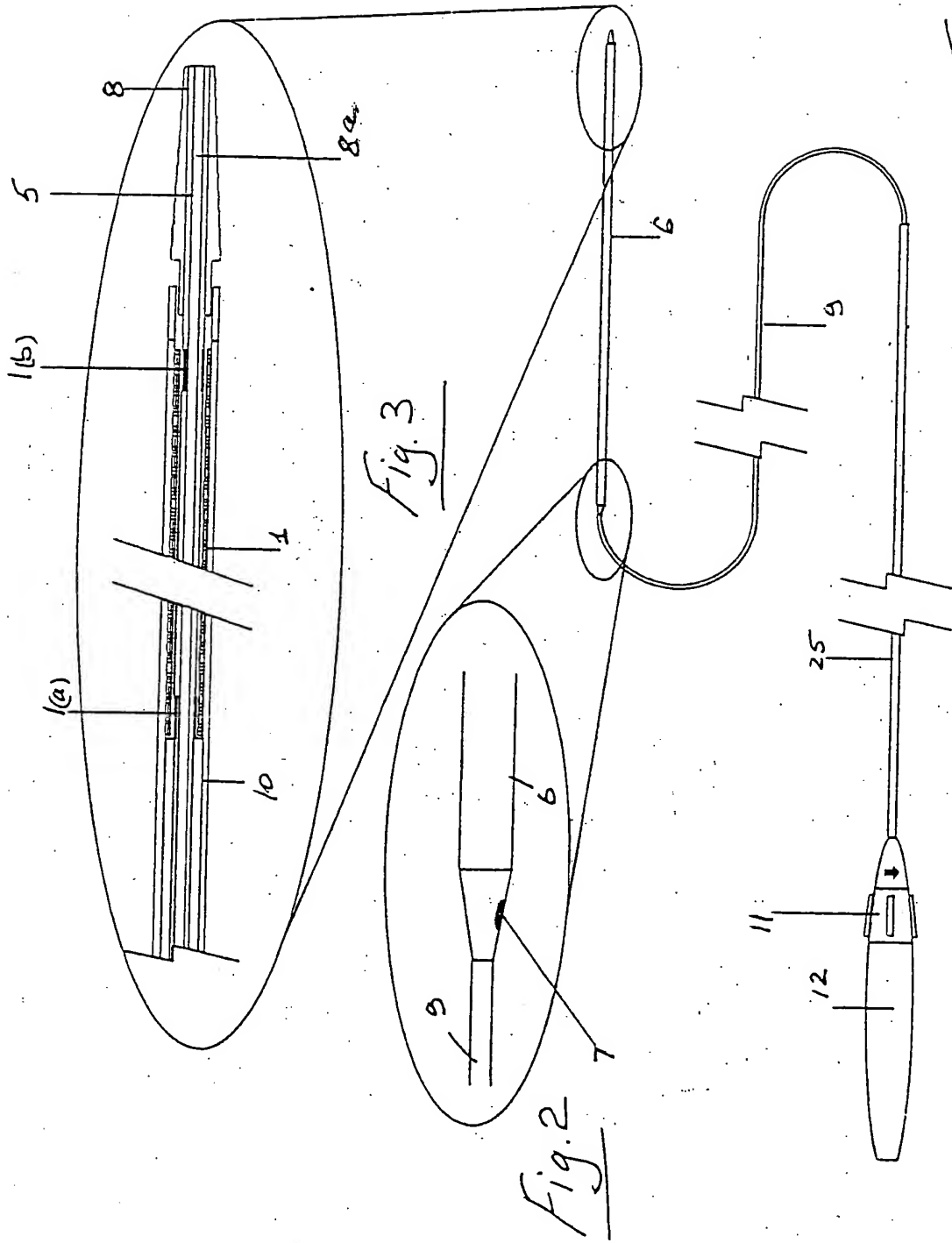
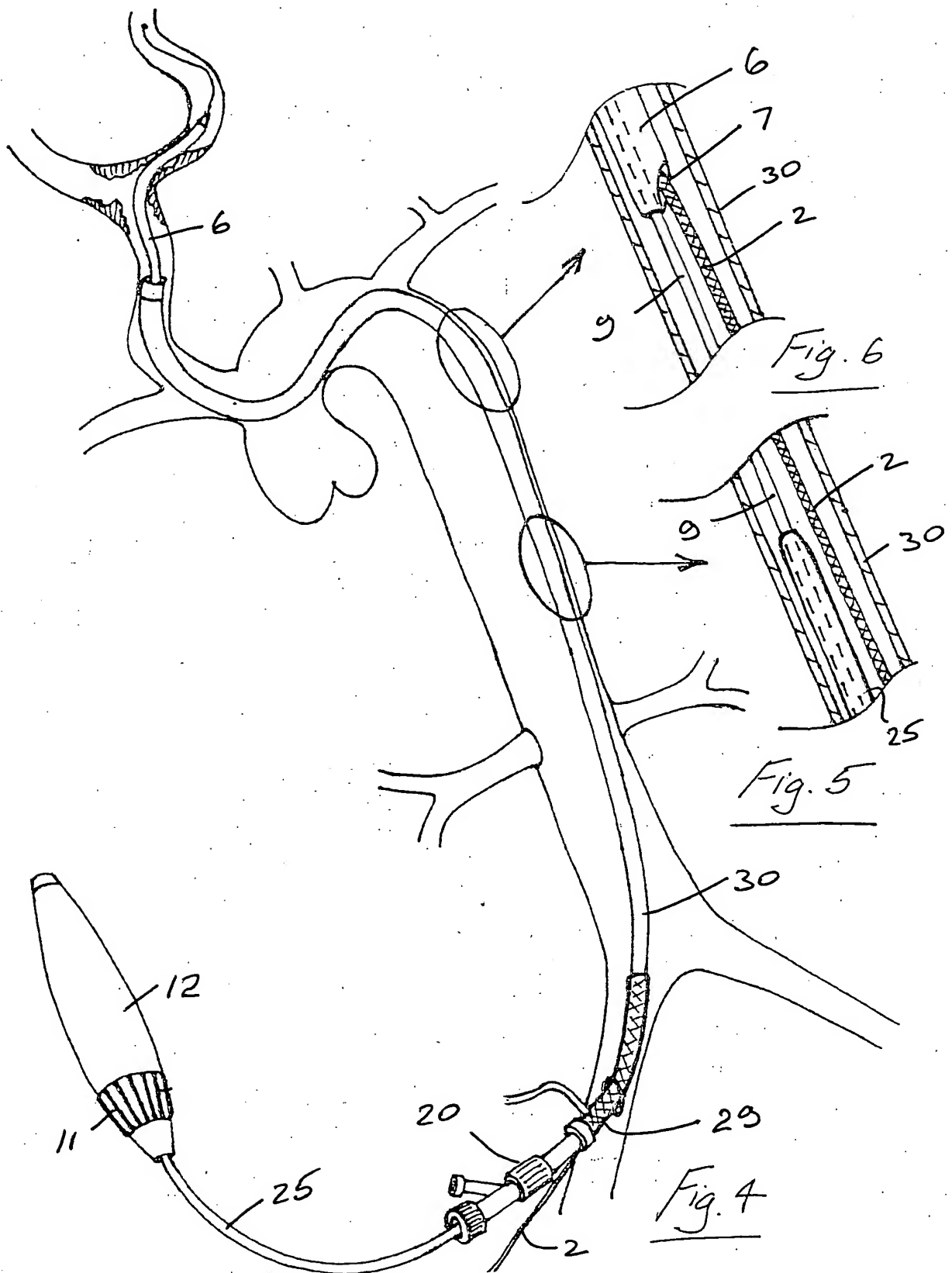


Fig. 1

2/22



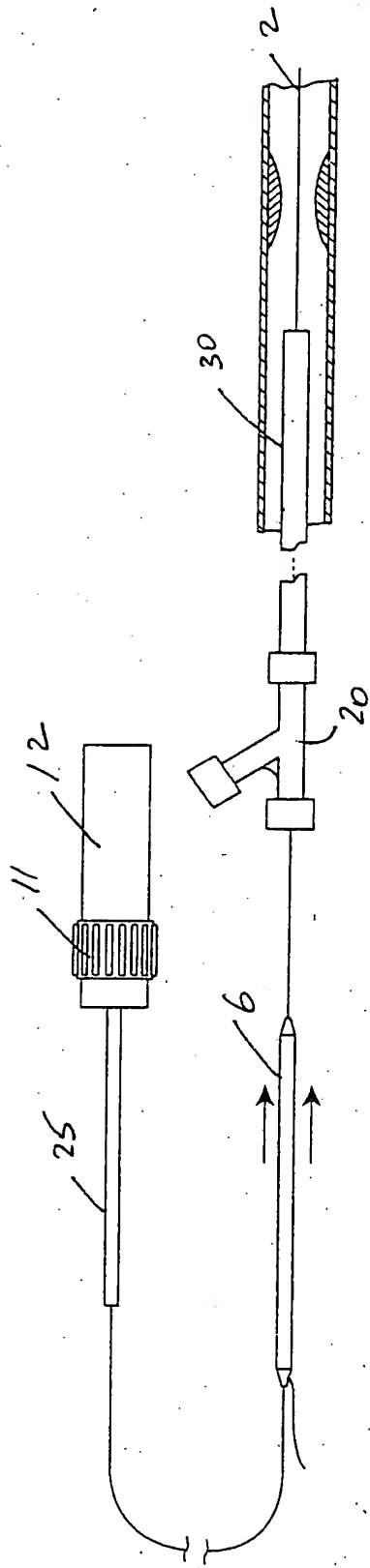


Fig. 7(a)

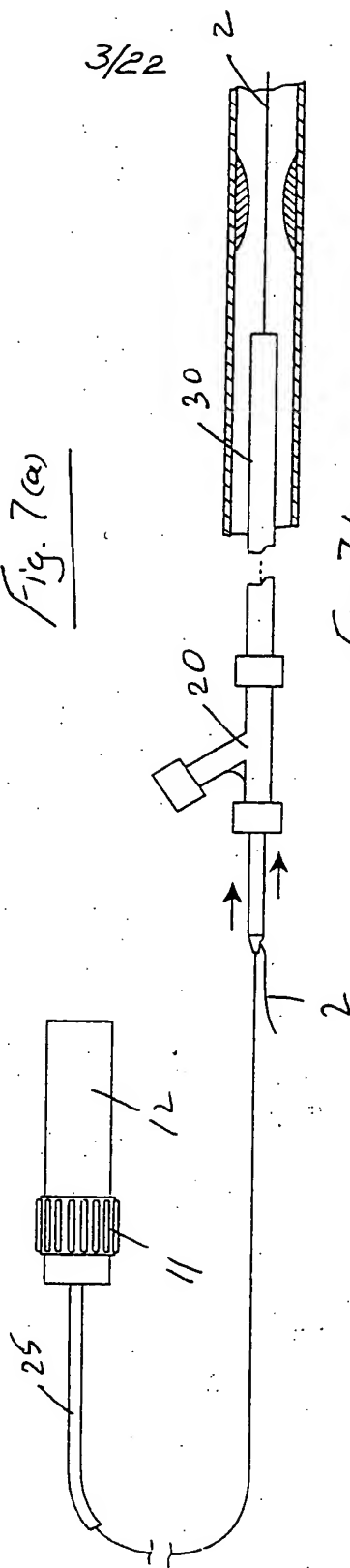


Fig. 7(b)

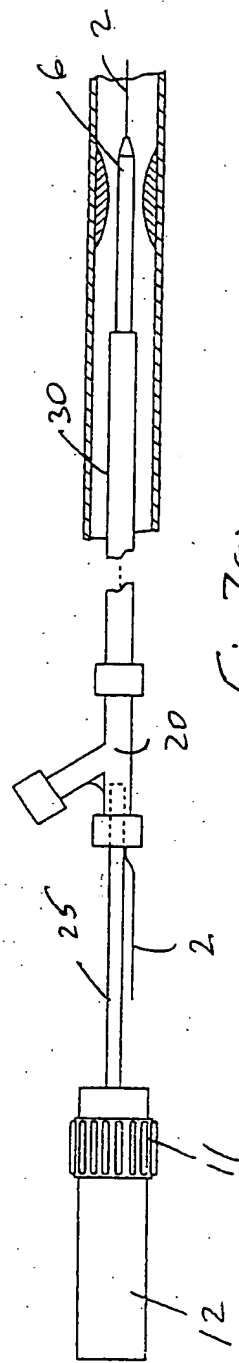


Fig. 7(c)

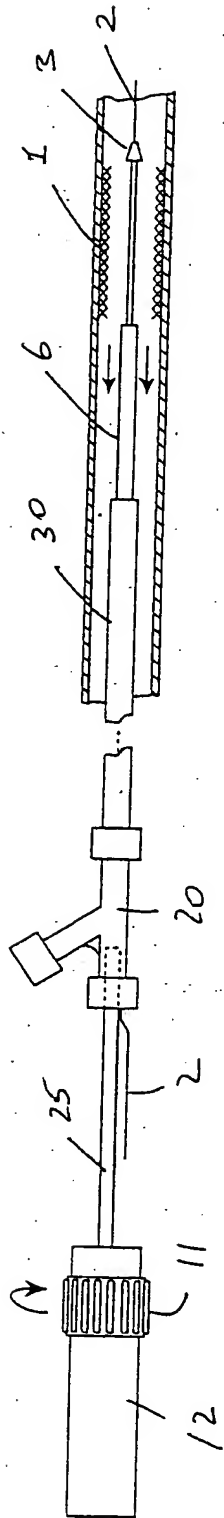


Fig. 7(d)

4/22

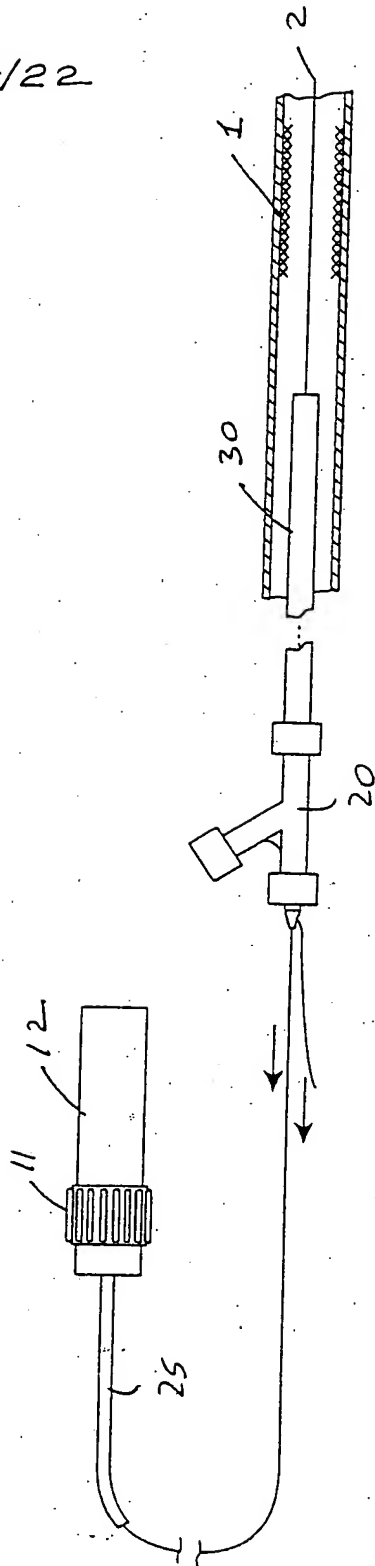
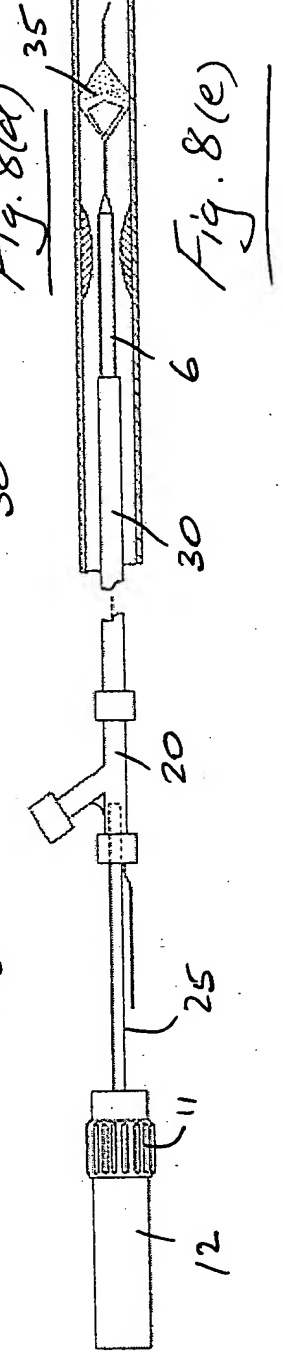
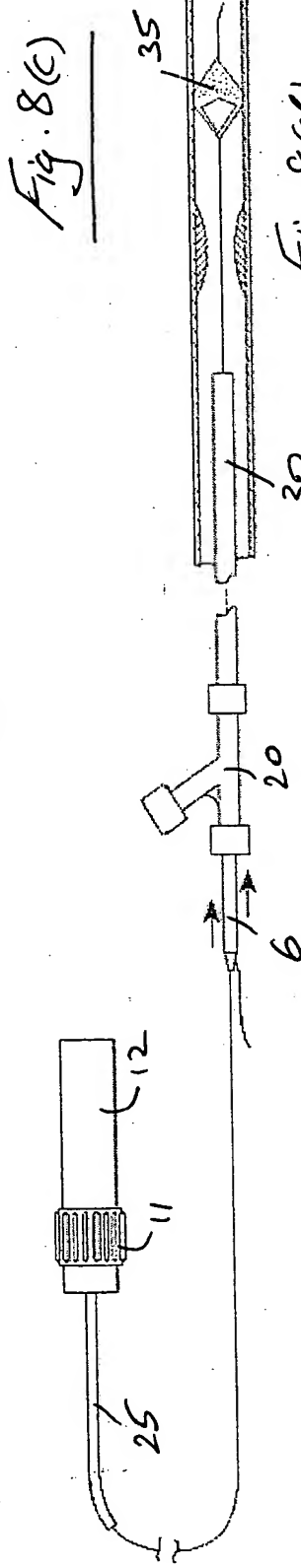
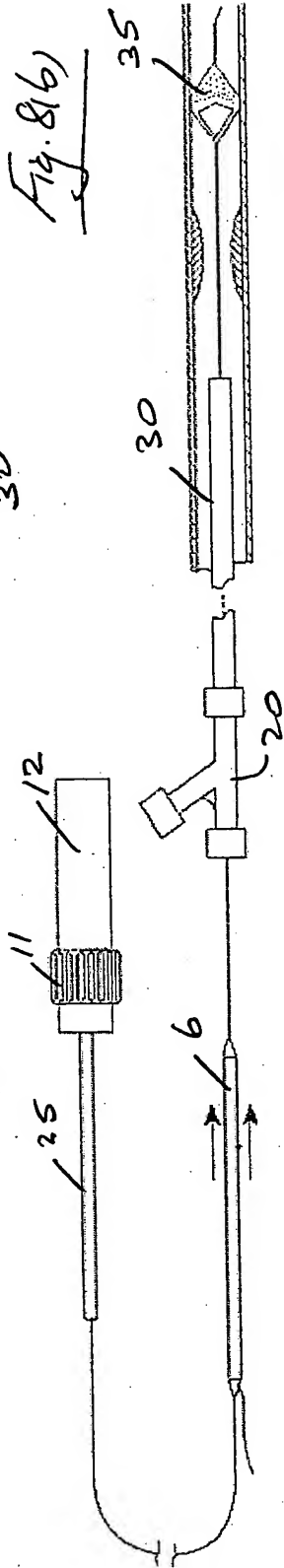
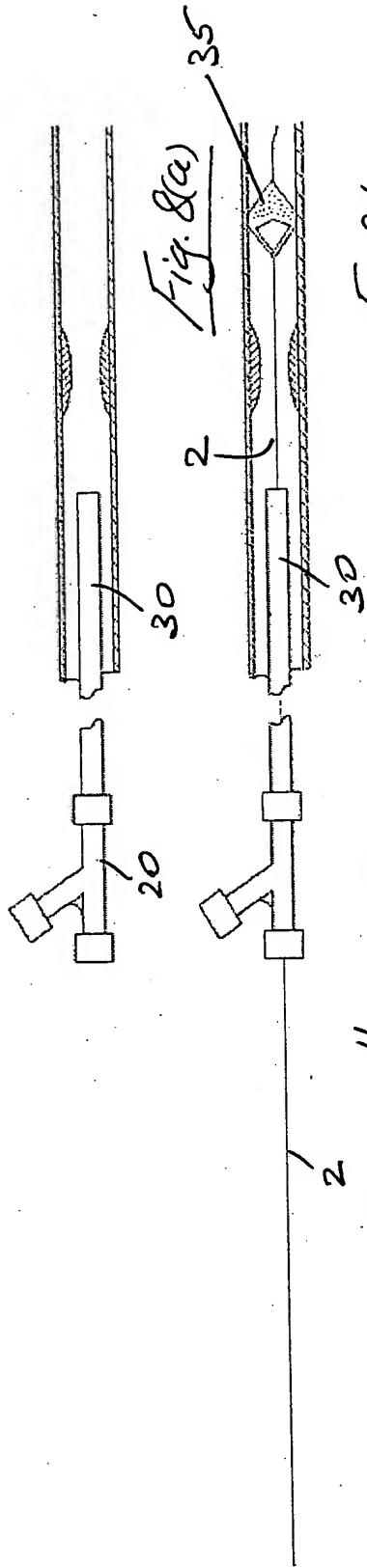


Fig. 7(e)

5/22



6/22

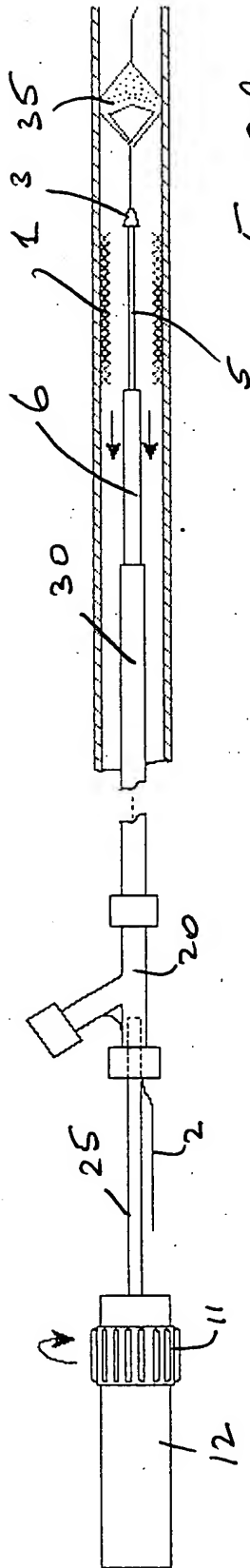


Fig. 8(f)

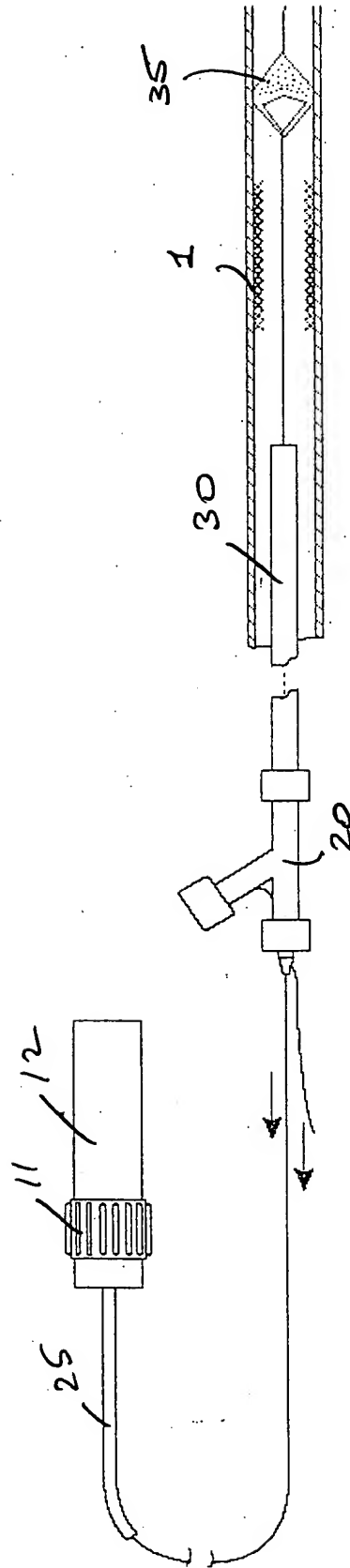


Fig. 8(g)

7/22

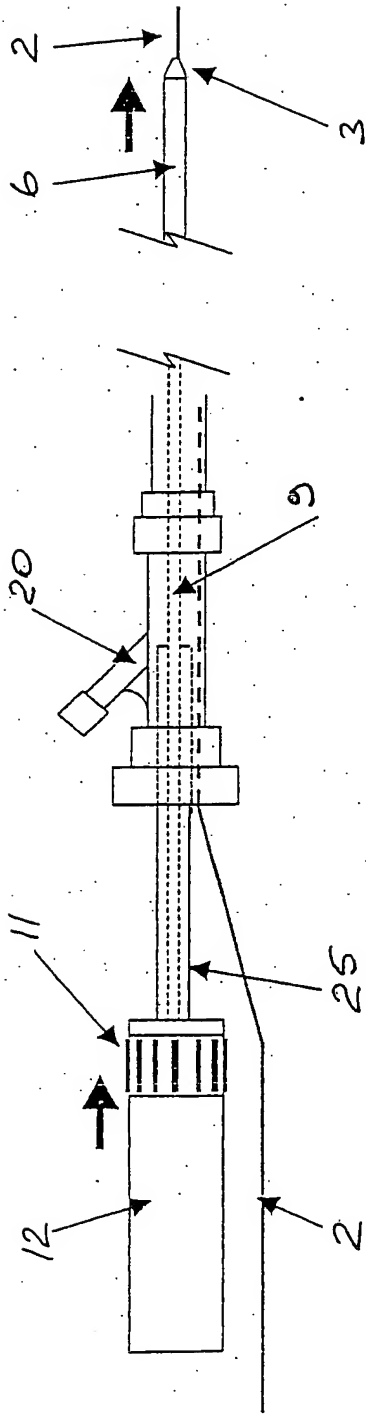


Fig. 9(a)

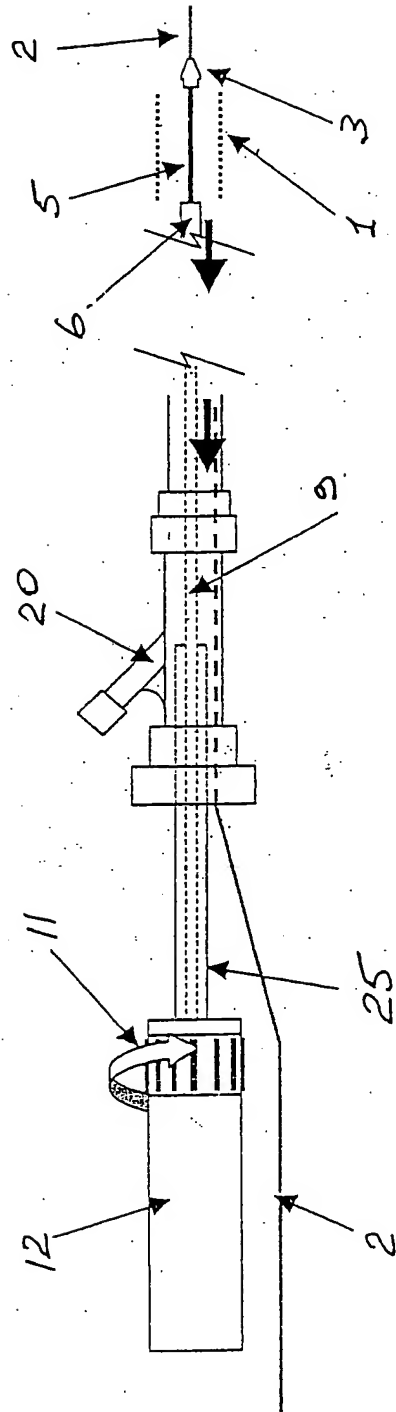


Fig. 9(b)

8/22

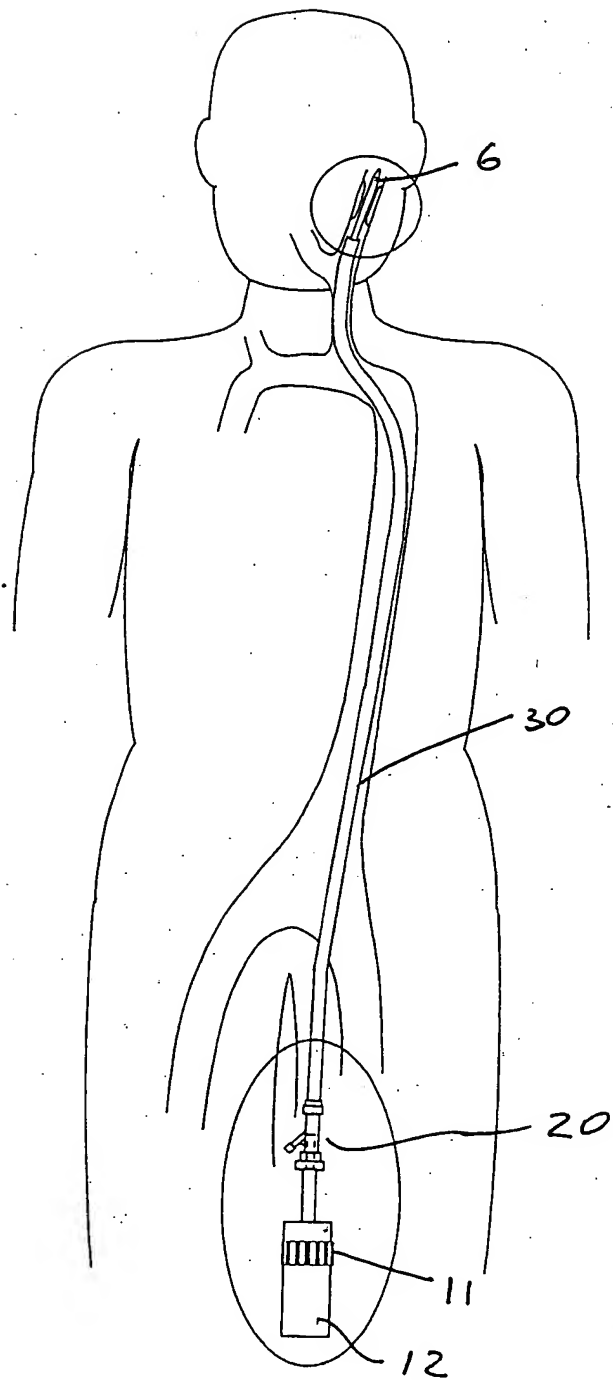


Fig. 10



9/22

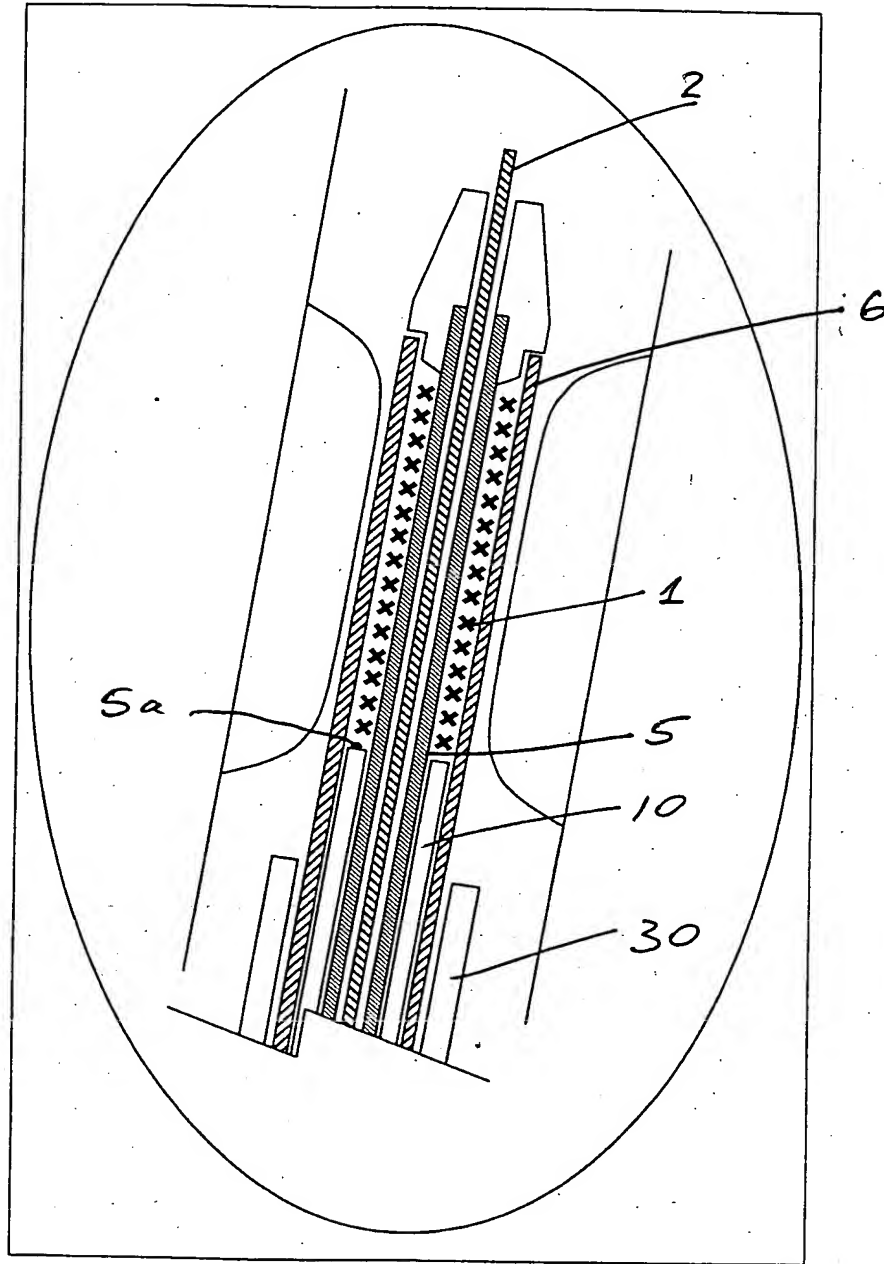


Fig. 11

10/22

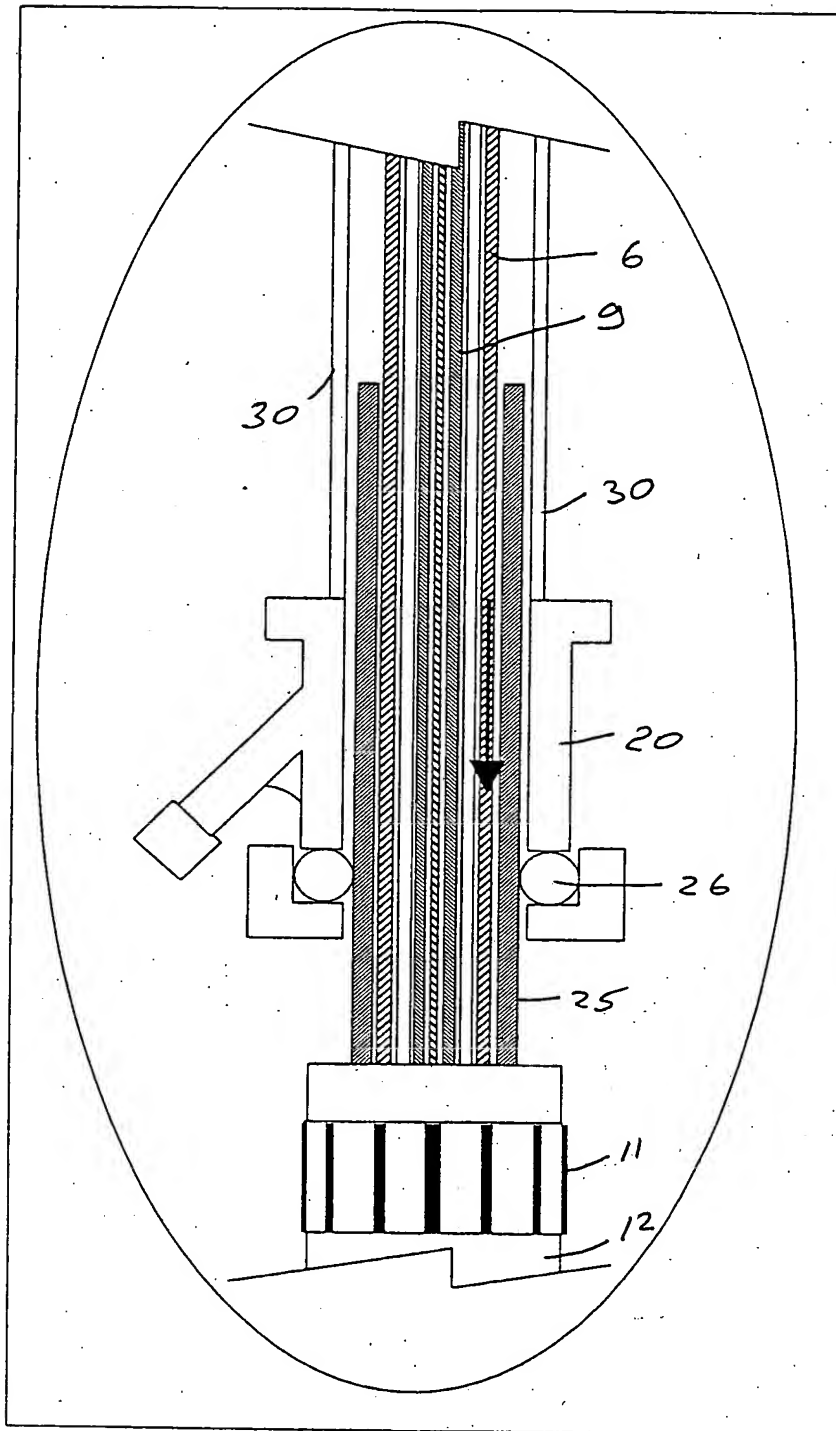


Fig. 12

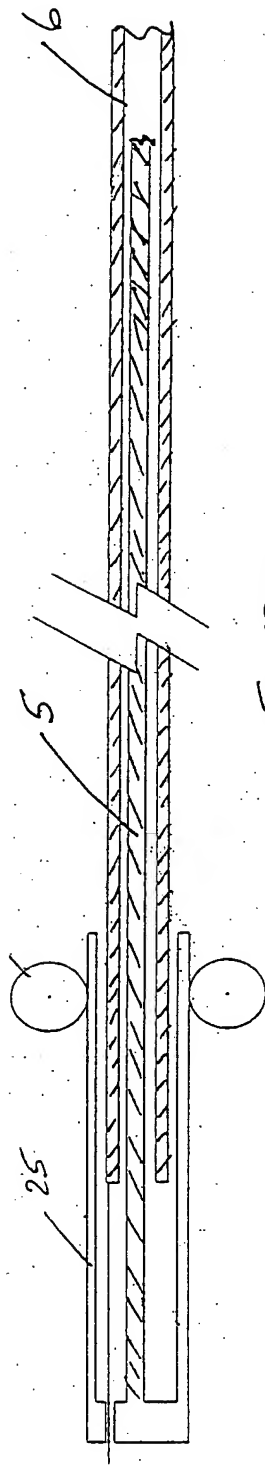


Fig. 13(a)

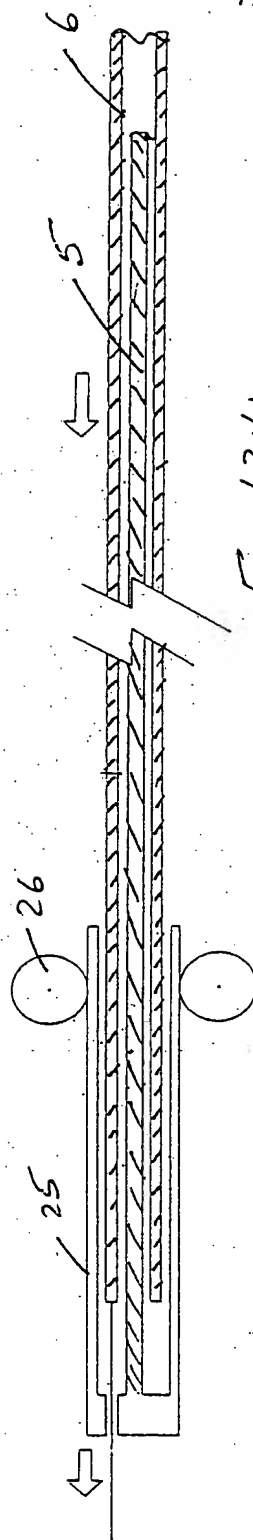


Fig. 13(b)

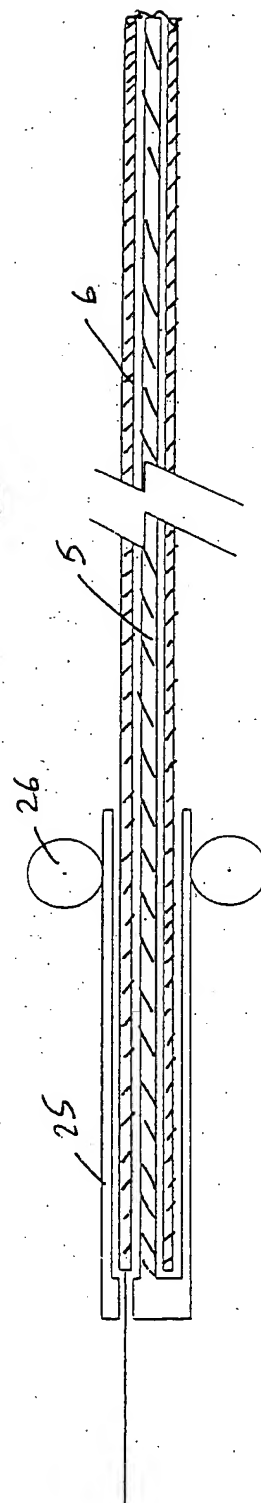


Fig. 13(c)

12/22

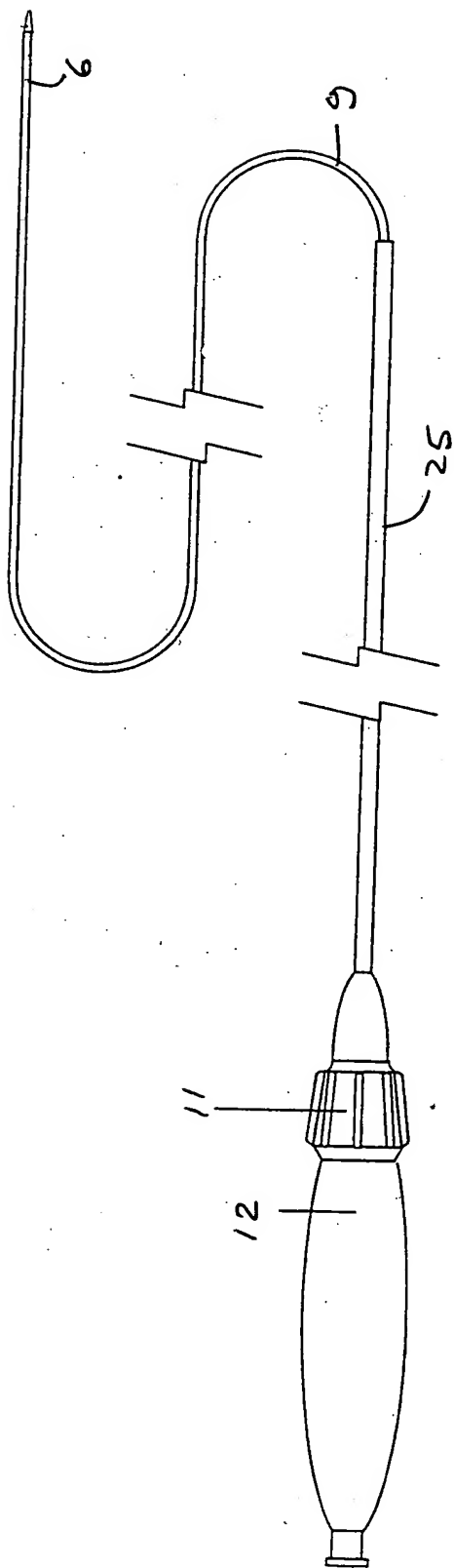
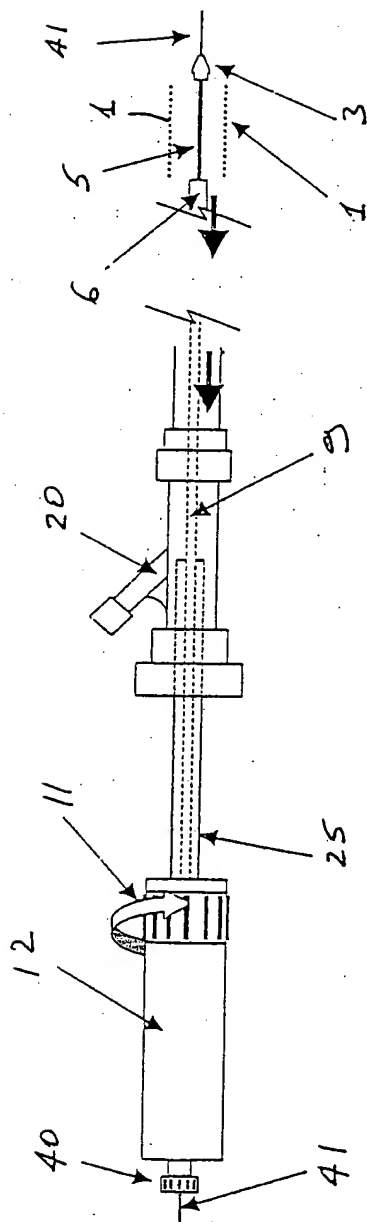


Fig. 14



13/22  
Fig. 15

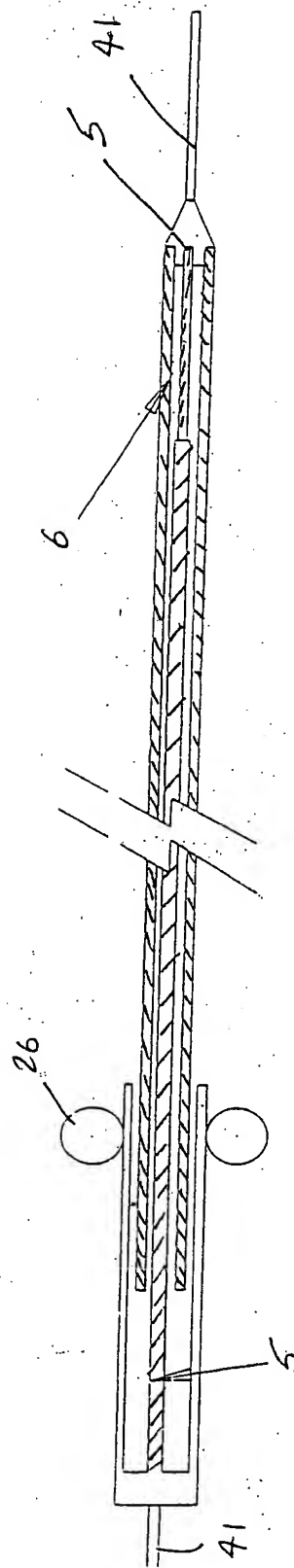
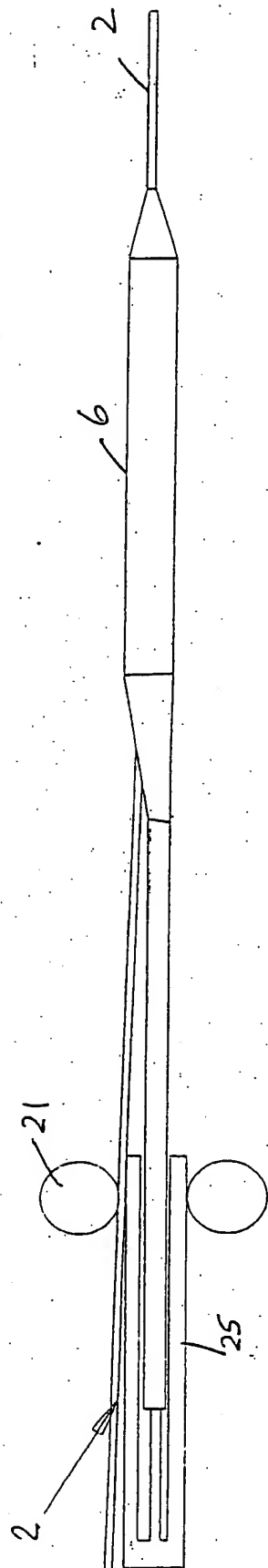


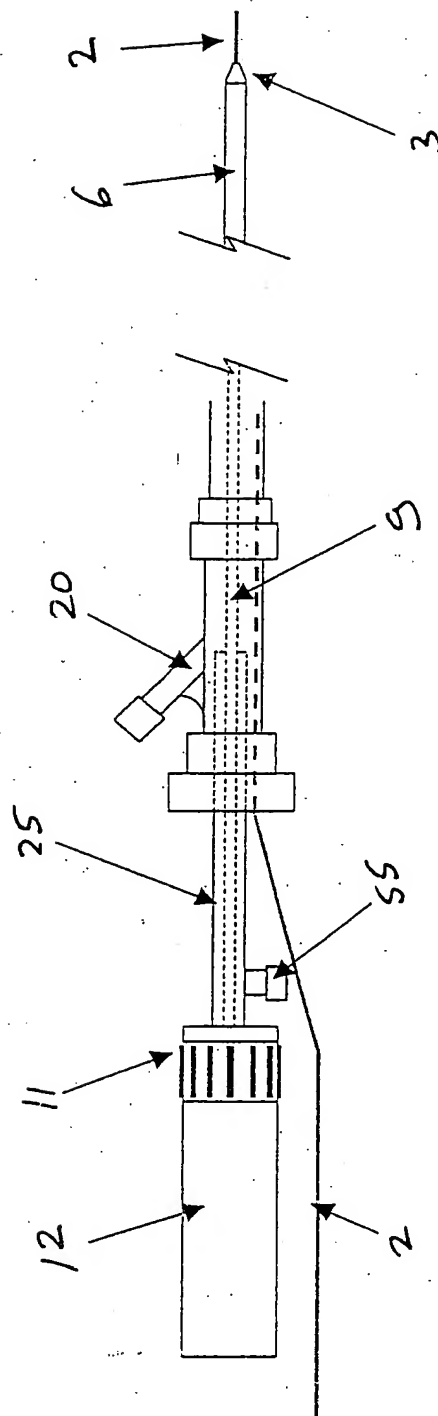
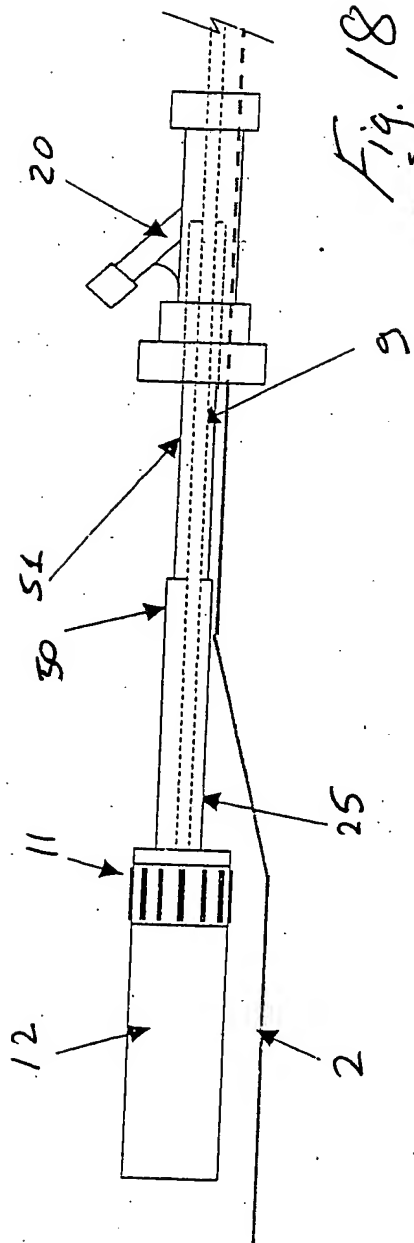
Fig. 16



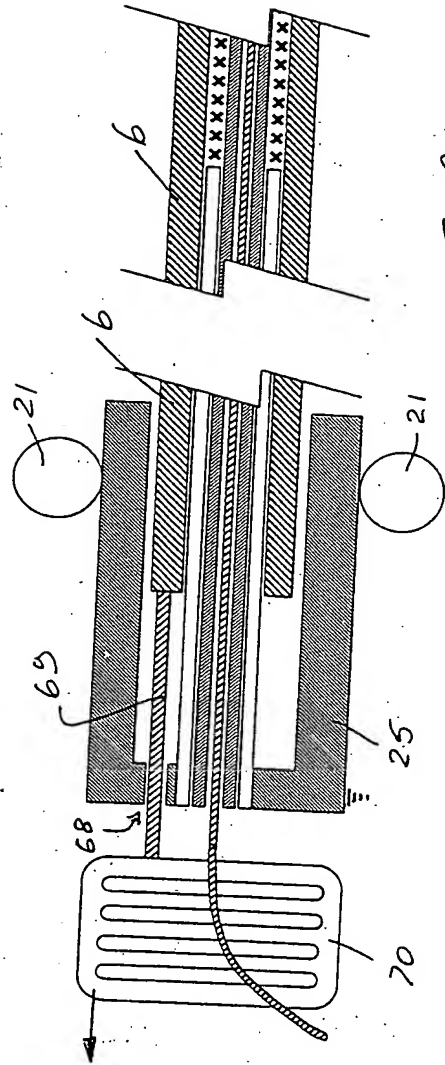
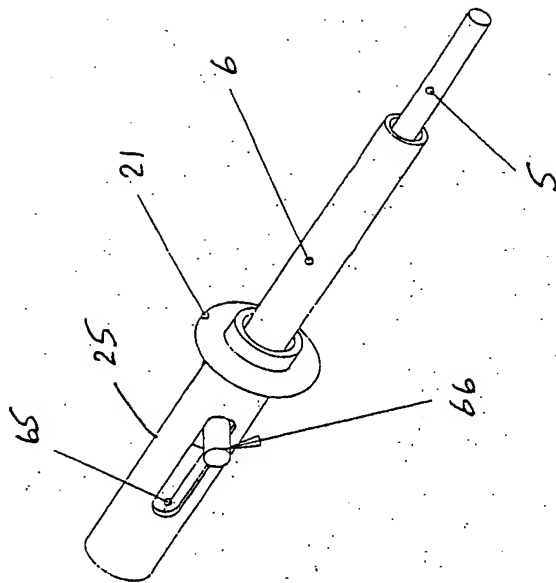
14/22

Fig. 17

15/22



16/22





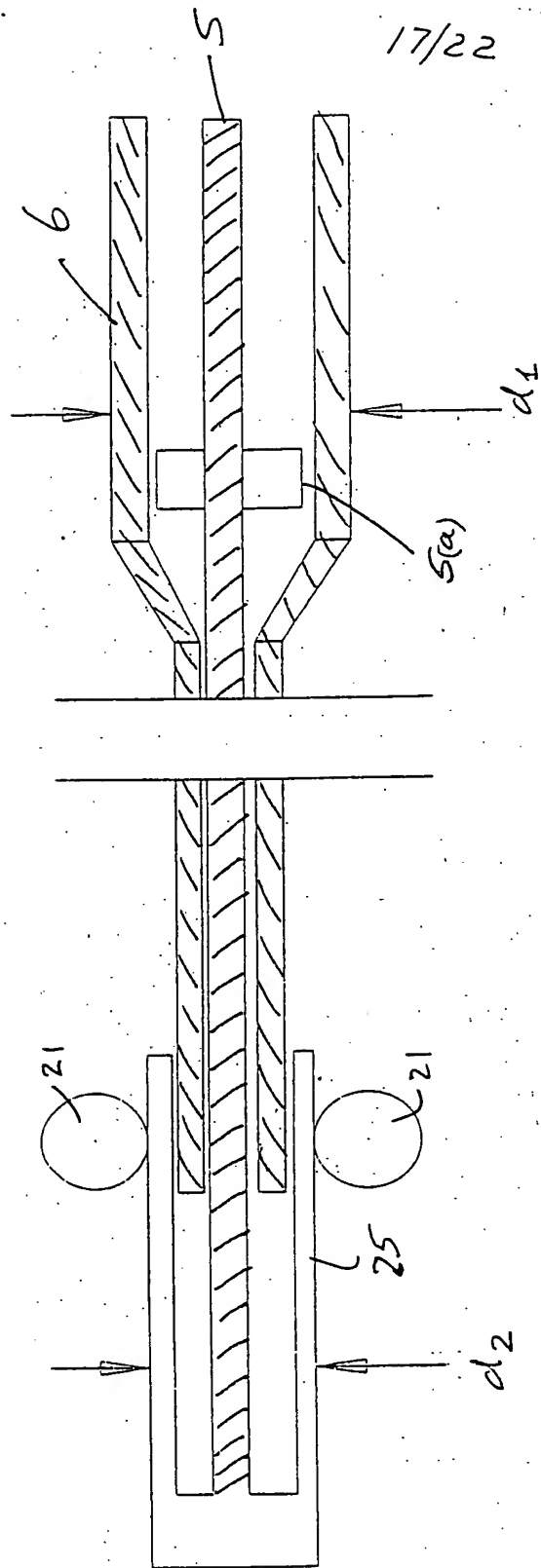


Fig. 22

18/22

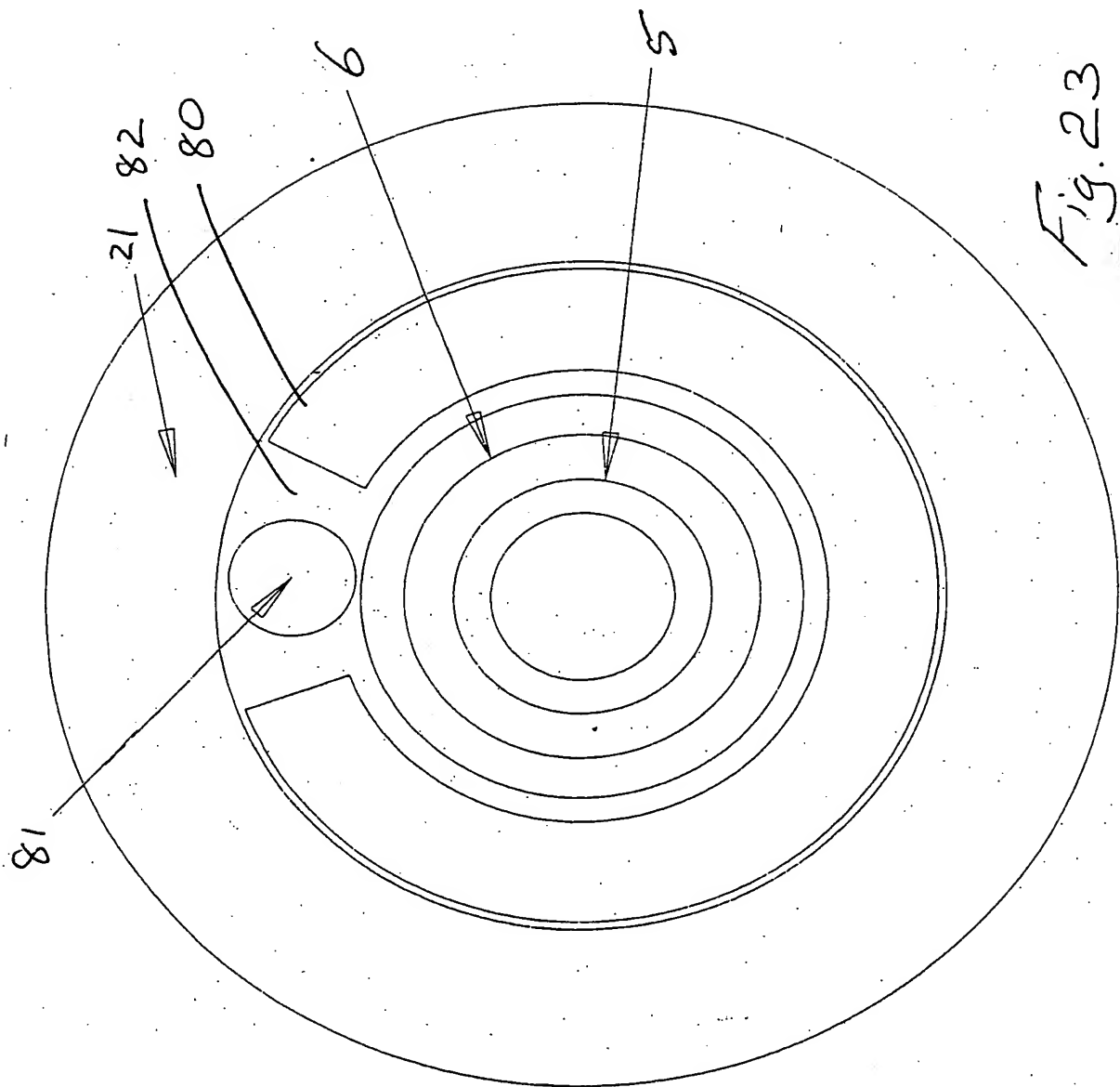


Fig. 23

13/22

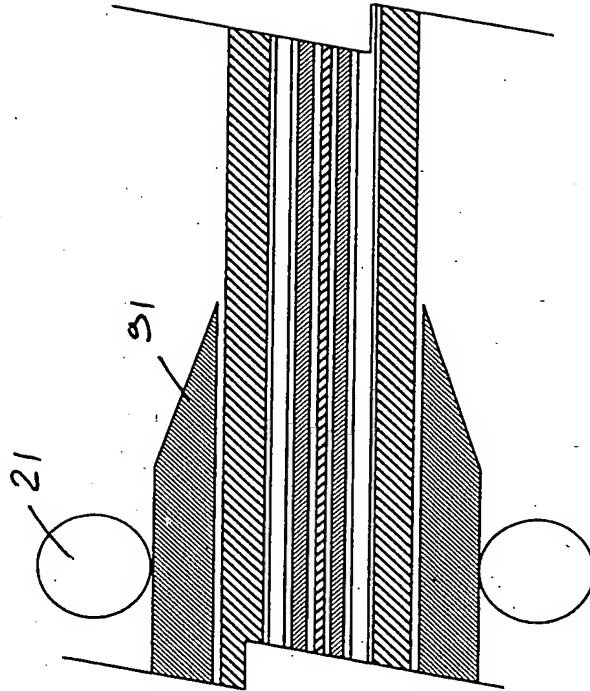


Fig. 24

20/22

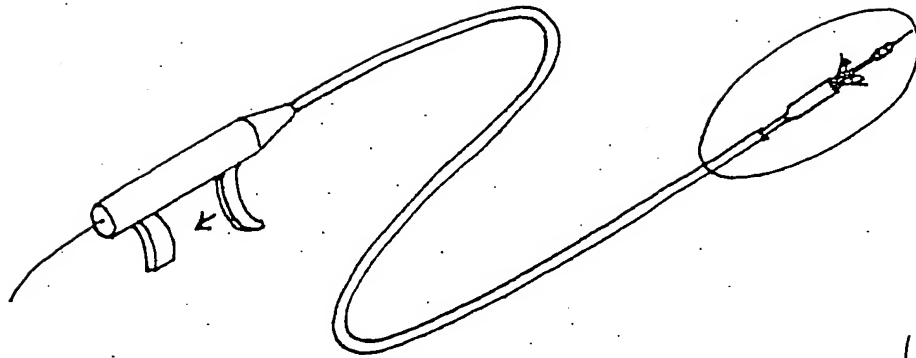


Fig. 25

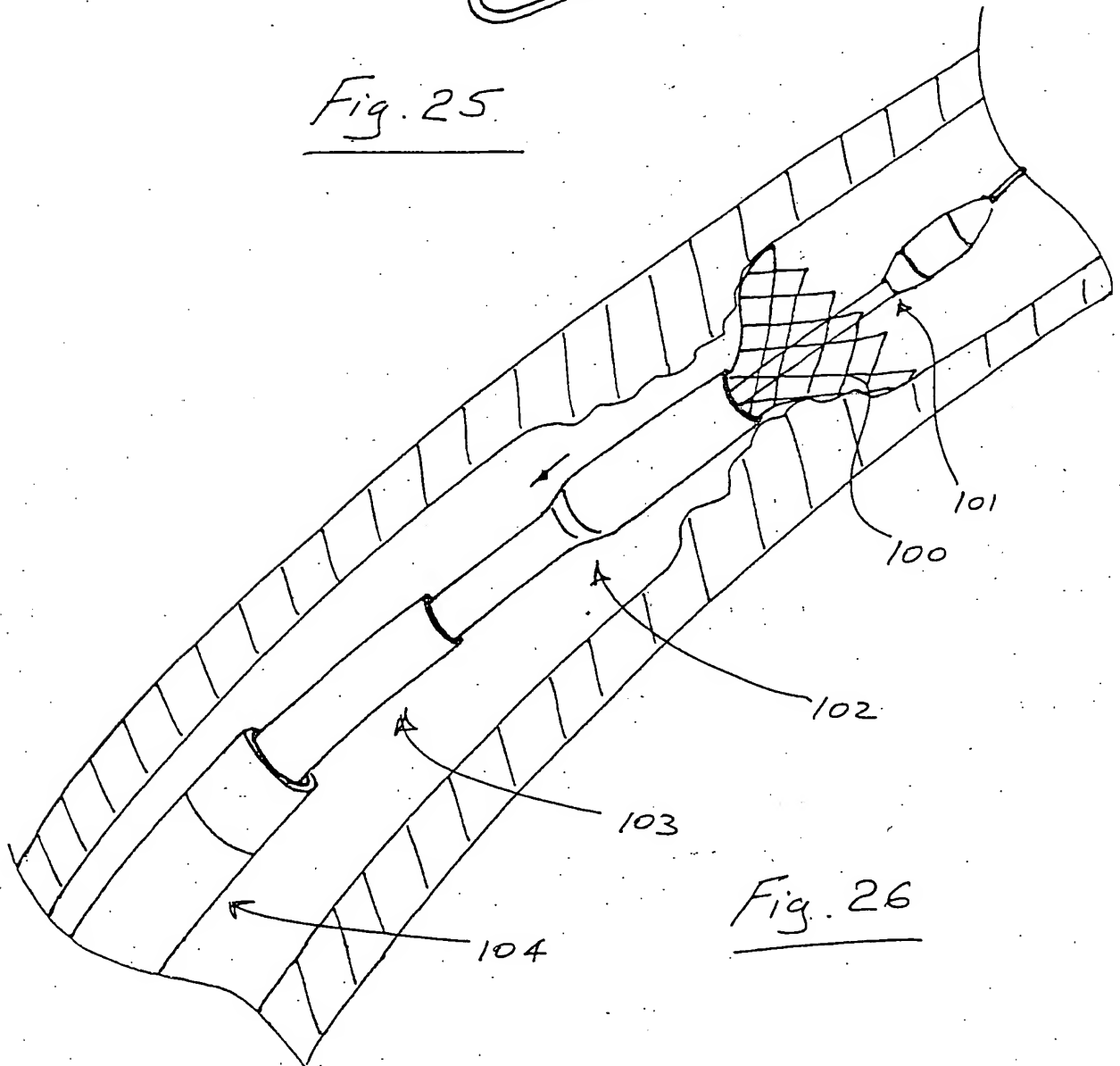


Fig. 26

21/22

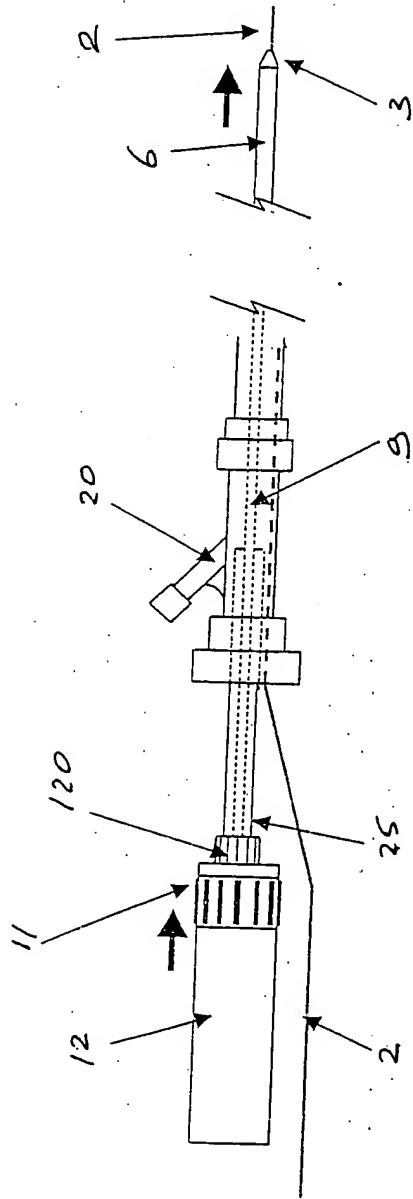


Fig. 27

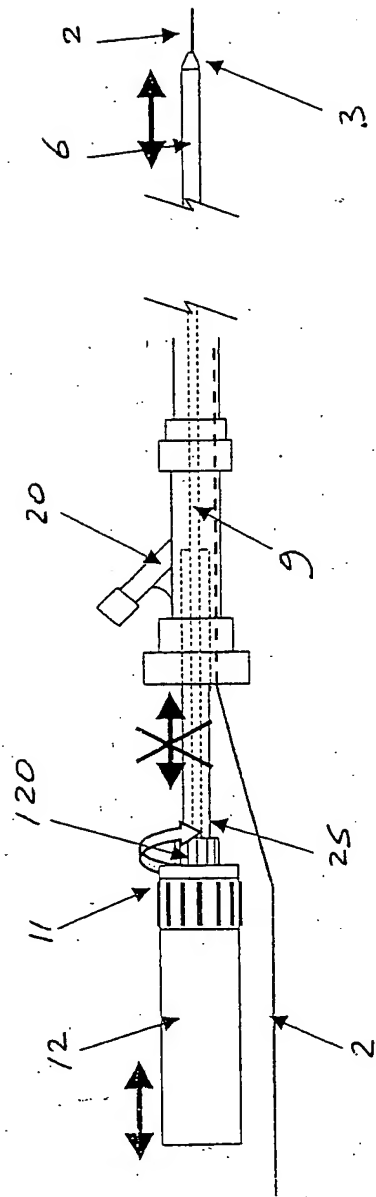
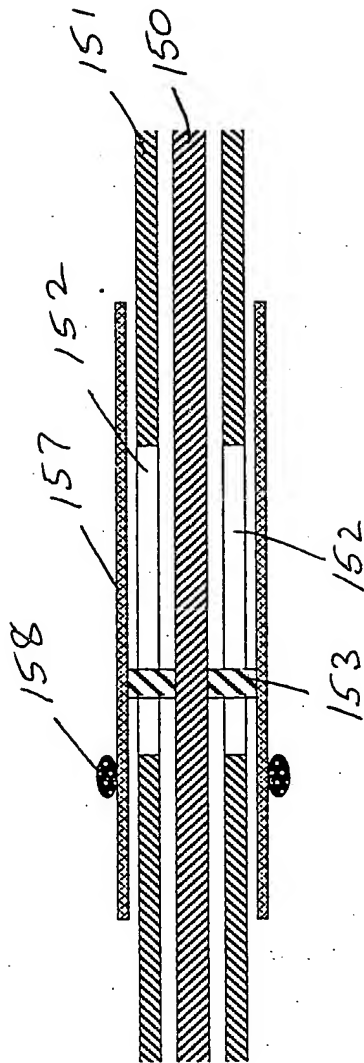


Fig. 28

22/22

DISTAL



PROXIMAL

Fig. 29